

# Náhodné kótované množiny a redukce dimenze

Viktor Beneš, Ondřej Šedivý, Jakub Staněk

KPMS MFF UK Praha

ROBUST 2012, Němčičky

# Obsah

- 1.1 Náhodné kótované uzavřené množiny (RMCS)
- 1.2 Charakteristiky RMCS
- 1.3 Modely a numerické výsledky
- 1.4 Redukce dimenze ve stochastické geometrii
- 1.5 Teoretické základy metody SIR
- 1.6 Statistické odhady centrálního podprostoru

# RMCS - náhodné kótované uzavřené množiny

Molchanov (1984), Ballani, Kabluchko, Schlather (2009)

RMCS je dvojice  $(\mathcal{Y}, \Lambda)$  kde  $\Lambda$  je náhodná funkce (kóta) definovaná na náhodné uzavřené množině  $\mathcal{Y} \subset \mathbb{R}^d$ .

Příklady RMCS:

(i) Kótovaný bodový proces -  $\mathcal{Y}$  je bodový proces (dimenze  $k = 0$ ),  $\Lambda : \mathcal{Y} \rightarrow \mathbb{R}$  kóta, viz Stoyan et al. (1995), Illian et al. (2008).

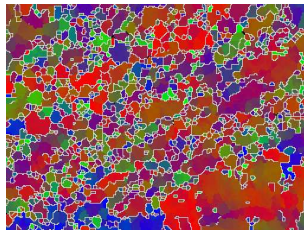
(ii) Úrovňové množiny náhodného pole  $\Lambda$  v  $\mathbb{R}^d$  (dimenze  $k = d$ ).  
Necht'  $\mathcal{Y}_t = \{x \in \mathbb{R}^d : \Lambda(x) \geq t\}$ ,  $t \in \mathbb{R}$ . Potom  $(\mathcal{Y}_t, \Lambda)$  je RMCS.

Cíl přednášky: Studovat  $k$ -rozměrné RMCS v  $\mathbb{R}^d$  pro  $k = 0, 1, \dots, d - 1$ .

## 1.1 Náhodné mozaiky - RMCS různé dimenze

v  $\mathbb{R}^3$  je systém buněk (dimenze 3), stěn (2), hran (1), vrcholů (0).

Geometrické kóty - objem buněk, plocha povrchu stěn, délka hran, atd.



V materiálovém výzkumu - mikrostruktura zrn v kovech

Orientace krystalografických mřížek buněk, kóta stěn - disorientace mřížek sousedních buněk, ovlivňuje vlastnosti kovů

# Charakteristiky náhodných množin $\mathcal{Y}$

$\mathcal{H}^k$  Hausdorffova míra,  $\mathcal{Y}$  Hausdorffovy dimenze  $k$

Lokálně konečná míra  $\Psi(B) = \mathcal{H}^k(B \cap \mathcal{Y})$ ,  $B \in \mathcal{B}^d$ .

Míra intenzity  $\varrho(B) = \mathbb{E}\Psi(B)$ . Funkce intenzity  $\rho$  - hustota  $\varrho$ .

Bud'  $M(D, B) = \mathbb{E} \left[ \int_D \frac{\Psi(dy)}{\rho(y)} \int_B \frac{\Psi(dy)}{\rho(y)} \right]$ ,  $B, D \in \mathcal{B}^d$ ,

Stacionarita  $\Psi$  druhého řádu převážená intenzitou (SOIRS) když

$$M(D, B) = M(D + x, B + x) \quad \forall x \in \mathbb{R}, \quad B, D \in \mathcal{B}^d.$$

Redukovaná druhá momentová míra

$$\mathcal{K}(B) = \frac{1}{|A|} \mathbb{E} \left[ \int_A \int \frac{\mathbf{1}_B(x - y)}{\rho(x)\rho(y)} \Psi(dx)\Psi(dy) \right].$$

$K$ -funkce  $K(r) = \mathcal{K}(b(0, r))$ .

# Nezávislost náhodné množiny a kóty

Bud'  $\Lambda'$  shora polospojité náhodné pole na  $\mathbb{R}^d$  a RMCS  $(\mathcal{Y}, \Lambda)$  je taková, že  $\Lambda = \Lambda'$  na  $\mathcal{Y}$ .

Když jsou  $\mathcal{Y}$  a  $\Lambda'$  nezávislé, píšeme, že  $(\mathcal{Y}, \Lambda)$  je IRMCS.

Test  $H_0$  :  $(\mathcal{Y}, \Lambda)$  je IRMCS proti  $H_A$  : není IRMCS.

- a) vyber náhodně  $m$  testovacích bodů  $x_i \subset \mathcal{Y}$ ,
- b) odhad  $\rho(x_i)$ ,  $\Lambda(x_i)$ ,  $i = 1, \dots, m$ ,
- c) odhad  $\Lambda$ -vážené  $K$  funkce:  
$$\hat{K}_\Lambda(r) = \frac{1}{m} \sum_{x_i} \Lambda(x_i) \int_{\mathcal{Y}} \frac{\mathbf{1}(||x_i - y|| < r)}{\rho(x_i)\rho(y)} \mathcal{H}^k(dy),$$
- d) v c)  $n$  permutací  $\{\Lambda(x_i), i = 1, \dots, m\}$ , výpočet  $\hat{K}_{max}(r)$ ,  $\hat{K}_{min}(r)$ ,
- e) graf obálek  $\hat{L}_{max}(r) - \hat{L}_\Lambda(r)$ ,  $\hat{L}_{min}(r) - \hat{L}_\Lambda(r)$ , kde  $\hat{L}_\cdot = \left(\frac{\hat{K}_\cdot}{\omega_d}\right)^{\frac{1}{d}}$ ,
- f)  $H_0$  zamítneme, je-li vodorovná osa vně obálek.

# Numerická studie RMCS

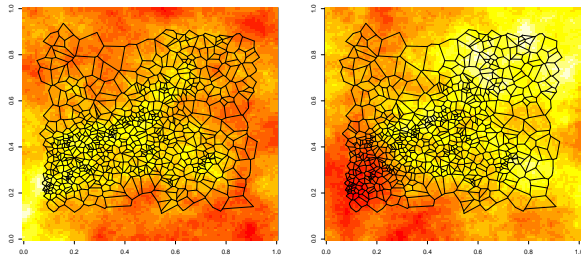
$$X(s) = (X_1(s), X_2(s)), s \in [0, 1]^2$$

stacionární Gaussovské náhodné pole s nezávislými složkami a

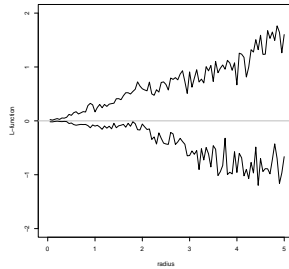
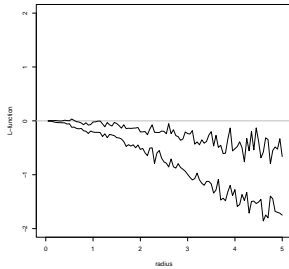
$$\mathbb{E}X = 0, R(s, t) = \alpha \exp(-\sigma ||s - t||).$$

Necht'  $\lambda(s) = a \exp(X_1(s))$ ,  $a > 0$  je řídící funkce intenzity Coxova bodového procesu  $\Phi$ .

$\mathcal{Y}$  je sjednocení hran 2D Voronoiovy mozaiky generované procesem  $\Phi$ .



# Výsledky testu IRMCS ( $\mathcal{Y}, V_i$ ), $V_i = \exp X_i$ , $i = 1, 2$ .



Vlevo ( $i = 1$ )  $H_0$  zamítáme,  $(\mathcal{Y}, V_1)$  není IRMCS. Vpravo ( $i = 2$ )  $H_0$  nelze zamítnout.

$l$ -tá momentová míra náhodné míry  $\Psi$  je

$$\mu^{(l)}(A_1 \times \cdots \times A_l) = \mathbb{E}[\Psi(A_1) \dots \Psi(A_l)]$$

for  $A_1, \dots, A_l \in \mathcal{B}^d$ .

Funkce intenzity  $l$ -tého řádu  $\lambda_l$

$$\mu^{(l)}(ds_1 \times \cdots \times ds_l) = \lambda_l(s_1, \dots, s_l) ds_1 \dots ds_l.$$

# Redukce dimenze ve stochastické geometrii

RMCS  $(Y, \Gamma)$ ,  $Y$  je  $\mathcal{H}^k$ -množina v  $k = 0, 1, d - 1$  v  $\mathbb{R}^d$

Doprovodné proměnné  $X = (X_1, \dots, X_p)$

Definice: Necht'  $X$  je  $p$ -rozměrné náhodné pole na  $\mathbb{R}^d$ .

Je-li  $Y$  podmíněně nezávislé na  $X$  při daném  $B^T X$  pro nějakou  $p \times c$  matici  $B$ ,  $c \leq p$ ,

potom  $\mathcal{S}(B)$  (lineární podprostor generovaný sloupci matice  $B$ ) je postačující podprostor redukce dimenze (SDRS).

$\mathcal{S}_{Y|X} = \cap_{SDRS} \mathcal{S}(B)$  je centrální podprostor (CS).

## Zjemněná definice redukce dimenze

Nechť  $I \in \mathbb{N}$  a platí

$$\lambda_I(s_1, \dots, s_I) = f_I(B^T X(s_1), \dots, B^T X(s_I)),$$

pro nějakou měřitelnou funkci  $f_I$  a  $p \times c$  matici  $B$ ,  $c \leq p$ .

Potom  $\mathcal{S}(B)$  se nazývá postačující podprostor redukce dimenze pro intenzitu  $I$ -tého řádu

$\mathcal{S}_I = \cap_B \mathcal{S}(B)$  se nazývá centrální podprostor pro intenzitu  $I$ -tého řádu.

Guan (2010) pro bodové procesy:  $\mathcal{S}_{Y|X} = \cup_{I \geq 1} \mathcal{S}_I$ ,

Problém:

Odhad centrálního podprostoru (generátoru  $B$ ) a jeho dimenze  $c$ .

# Metody redukce dimenze

Na bodové procesy adaptovány metody SAVE (Cook, Weisberg, 1991), směrová regrese (Li, Wang, 2007), z vektorových dat

Zde se omezíme na plátkovanou inverzní regresi (SIR, Li 1991)

- (i) plátkování náhodné množiny  $Y$  pomocí vhodné kóty  $\Gamma$ ,
- (ii) výpočet plátkových průměrů náhodného pole  $X$ ,
- (iii) aplikace metody hlavních komponent na plátkové průměry.

Obor hodnot  $\Gamma$  rozdělíme na  $m$  disjunktních intervalů  $J_1, \dots, J_m$  - plátků.

Indukuje dělení  $Y$  na  $m$  disjunktních množin  $(Y^1, \dots, Y^m)$  s funkcemi intenzity  $\lambda^{(i)}$ ,

$$\int_A \lambda^{(i)}(s) ds = \mathbb{E} \Psi_{Y^i}(A), \quad A \in \mathcal{B}^d, \quad i = 1, \dots, m.$$

# Analýza $\mathcal{S}_1$

Předpoklady:  $\lambda(s) = f(B^T X(s))$  pro matici  $B$  typu  $p \times c$ ,  $c \leq p$ ,  
 $X$  je  $p$ -rozměrné stacionární normované Gaussovské náhodné pole.  
 $Y, \{X(s), s \in Y\}$  jsou ergodické

## Lemma

Necht' kóta  $\Gamma$  je podmíněně nezávislá na  $X$  při daném  $B^T X$ . Potom  
 $\lambda^{(j)}(s) = f^j(B^T X(s))$  pro nějaké nezáporné měřitelné funkce  
 $f^j, j = 1, \dots, m$ .

## Theorem

$\mathcal{S}(V_1) \subset \mathcal{S}_1$  pro

$$V_1 = \frac{1}{\mathbb{E}[\lambda(.)]} \sum_{j=1}^m \frac{\mathbb{E}[\lambda^{(j)}(.)X(.)]\mathbb{E}[\lambda^{(j)}(.)X(.)]^T}{\mathbb{E}[\lambda^{(j)}(.)]}.$$

Konvexní kompaktní okno  $C \subset \mathbb{R}^d$ , statistika

$$\hat{V}_1 = \frac{1}{\Psi_Y(C)} \sum_{j=1}^m \frac{1}{\Psi_{Y^j}(C)} \int_{Y^j \cap C} X(s) \mathcal{H}^k(ds) [\int_{Y^j \cap C} X(s) \mathcal{H}^k(ds)]^T.$$

# Odhad $B$

$\tilde{X}$  Gaussovské náhodné pole

pozorované v okně  $W \subset \mathbb{R}^d$  s Lebesgue mírou  $0 < |W| < \infty$

$$\bar{X} = \frac{1}{|W|} \int_W \tilde{X}(s) ds, \quad \hat{\Sigma} = \frac{1}{|W|} \int_W [\tilde{X}(s) - \bar{X}] [\tilde{X}(s) - \bar{X}]^T ds$$

Normované náhodné pole

$$X(s) = \hat{\Sigma}^{-1/2} [\tilde{X}(s) - \bar{X}]$$

RMCS  $(Y, \Gamma)$ ,

$$p_j = \mathbb{P}(x \in Y^j | x \in Y), \quad j = 1, \dots, m,$$

odhadnuto jako

$$\hat{p}_j = \frac{\mathcal{H}^k(Y^j)}{\mathcal{H}^k(Y)}.$$

## Odhad $B$ pokračování

$$m_j = \mathbb{E}(X(s)|s \in Y^j)$$

vážená kovarianční matice  $V = \sum_{j=1}^m p_j m_j m_j^T$

odhad pomocí množiny  $\{z\}_j$  testovacích bodů v  $j$ -tém plátku  $Y^j$ ,  $j = 1, \dots, m$ ,

$$\hat{m}_j = \frac{1}{\text{card}\{z\}_j} \sum_{\{z\}_j} X(z).$$

$$\hat{V} = \sum_{j=1}^m \hat{p}_j \hat{m}_j \hat{m}_j^T,$$

najdi  $c$  největších vlastních čísel  $\hat{V}$ , odpovídající vlastní vektory  $\hat{\eta}_i$  definují

$$\hat{\beta}_i = \hat{\Sigma}^{-1/2} \hat{\eta}_i, \quad i = 1, \dots, c.$$

Pak  $\hat{\beta}_i$  patří do centrálního podprostoru.

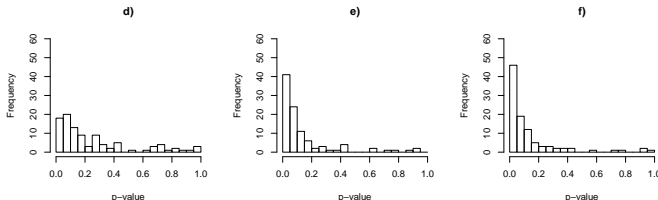
# Test ortogonality, simulační studie

$$H_0 : c = 0 \quad \text{proti} \quad H_A : c > 0$$

$H_0$  ekvivalentní nezávislosti  $X$  a  $Y$ , implikuje  $R^2 = 0$ , kde

$$R^2(\beta_i) = \max_{\beta \in \mathcal{S}_{Y|X}} \frac{(\beta_i^T \beta)^2}{\beta_i^T \beta_i \beta^T \beta},$$

- a) výpočet  $R^2(\hat{\beta}_i) = R_e^2$  z pozorování  $Y$  a  $X$ ,
- b) výpočet  $R^2(\hat{\beta}_j) = R_j^2$ ,  $j = 1, \dots, n$ , z pozorování  $Y$  a  $n$  simulovaných realizací  $X$ ,
- c)  $p$ -hodnota pro test  $H_0 : R^2 = 0$  je  $\frac{\text{card}\{R_j^2 \geq R_e^2\} + 1}{n+1}$ .



Test ortogonality, RMCS hran mozaiky v  $\mathbb{R}^2$ . Histogramy  $p$ -hodnot pro počet plátků 1, 2, 4, z  $q = 100$  simulací.

## Další numerické výsledky

Veličina

$$\Delta(B, \hat{B}) = \|B(B^T B)^{-1}B^T - \hat{B}(\hat{B}^T \hat{B})^{-1}\hat{B}^T\|_{\max}$$

k porovnání odhadnuté a skutečné matice centrálního podprostoru.

počet plátků	$\Delta(B, \hat{B})$
1	0.582
2	0.343
4	0.195
8	0.167
16	0.159
32	0.160

Výběrové průměry  $\Delta(B, \hat{B})$  z  $q = 100$  simulací,  $p = 3$ ,  
 $Z_1 = a(\arctan(X_1(s)) + \frac{\pi}{2})$ ,  $a = 0.02$

# Analýza $\mathcal{S}_2$

Necht'  $\lambda_2(s, t) = f_2(B^T X(s), B^T X(t))$  pro matici  $B$  typu  $p \times c$ ,  $c \leq p$ ,

$Y$  a  $\{X(s)X(t)^T, s, t \in Y\}$  jsou ergodické,  $C \subset \mathbb{R}^d$  konvexní kompaktní okno. Pak

$$\hat{M}_2 = \frac{\int_{s,t \in Y \cap C} X(s)X(t)^T \mathcal{H}^k(ds)\mathcal{H}^k(dt)}{\Psi_Y(C)^2} \rightarrow \frac{\int \int \mathbb{E}[\lambda_2(s, t)X(s)X(t)^T]dsdt}{\int \int \mathbb{E}[\lambda_2(s, t)]dsdt} =$$

$= M_2$  když  $C \uparrow \mathbb{R}^d$ . Kdy je  $\mathcal{S}(M_2) \subset \mathcal{S}_2$ ?

## Theorem

Bud'  $P_B = B(B^T B)^{-1}B^T$  projekční matici,  $Q_B = I_p - P_B$ , pak

$$M_2 = M_2^P + M_2^Q = \frac{P_B \int \int \mathbb{E}[f_2(B^T X(s), B^T X(t))X(s)X(t)^T]dsdt P_B}{\int \int \mathbb{E}[f_2(B^T X(s), B^T X(t))]dsdt} + \\ + \frac{\int \int \mathbb{E}[f_2(B^T X(s), B^T X(t))] \mathbb{E}[Q_B X(s)X(t)^T Q_B]dsdt}{\int \int \mathbb{E}[f_2(B^T X(s), B^T X(t))]dsdt}.$$

## Příklad: Determinantový bodový proces

$$\lambda_2(s, t) = \begin{vmatrix} C_0(0) & C_0(s-t) \\ C_0(t-s) & C_0(0) \end{vmatrix}$$

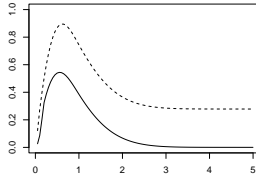
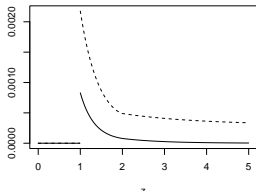
kde  $C_0$  je kovarianční funkce, volme

$$C_0(x) = \frac{2\rho}{\pi} \left( \arccos \frac{\|x\|}{\alpha} - \frac{\|x\|}{\alpha} \sqrt{1 - \left( \frac{\|x\|}{\alpha} \right)^2} \right) \mathbf{1}_{\{\|x\| < \alpha\}}.$$

Parametr  $\rho$  je znáhodněn:

$$\rho = \frac{4}{\pi^2 \alpha^2} (\arctan(X_1(s)X_1(t)) + \frac{\pi}{2}).$$

Obrázek vpravo: Integrand v čitateli  $M_2^P$  čárkovaně,  $M_2^Q$  plná čára.



## Plátkování pro odhad $S_2$

Kótování se aplikuje na Kartézský součin  $Y \times Y$

$$\begin{aligned}\mathcal{Y} &= Y \times Y, & \Psi_{\mathcal{Y}}(C) &= \Psi_Y(C)^2, & k > 0, \\ \mathcal{Y} &= \{(s, t); s \in Y, t \in Y, s \neq t\}, & \Psi_{\mathcal{Y}}(C) &= \Psi_Y(C)(\Psi_Y(C) - 1), & k = 0.\end{aligned}$$

Kóta  $\Gamma : \mathcal{Y} \rightarrow \mathbb{R}$ ,  $\Gamma(s, t) = \Gamma(t, s)$  pro  $(s, t) \in \mathcal{Y}$ .

Obor hodnot  $\Gamma$  rozdělen na  $m$  disjunktních plátků

Indukuje rozklad  $\mathcal{Y}$  na  $(\mathcal{Y}^1, \dots, \mathcal{Y}^m)$ , bud'

$$\Psi_{\mathcal{Y}^j}(C) = \int \int_{\mathcal{Y}^j \cap C^2} \mathcal{H}^k(ds) \mathcal{H}^k(dt).$$

plátkové průměry  $o_j = \mathbb{E}(X(s)X(t)^T | (s, t) \in \mathcal{Y}^j)$

$q_j = P((s, t) \in \mathcal{Y}^j | (s, t) \in \mathcal{Y})$ ,  $j = 1, \dots, m$ .

Matice  $U_2 = \sum_{j=1}^m q_j o_j o_j^T$ , metoda hlavních komponent.

## Literatura

- F. Ballani, Z. Kabluchko, M. Schlather (2009) Random marked sets.  
arXiv:0903.2388v1 [math.PR]
- V. Beneš, J. Rataj (2004) Stochastic Geometry: Selected Topics. Kluwer Acad. Publ. Dordrecht.
- R.D. Cook (1998) Regression Graphics. Wiley, New York.
- Y. Guan (2008) On consistent nonparametric intensity estimation for inhomogeneous spatial point processes. *JASA* 103, 483, 1238–1247.
- Y. Guan, H. Wang (2010) Sufficient dimension reduction for spatial point processes directed by Gaussian random fields. *J. R. Statist. Soc. B*, 72, 3, 367–87.
- J. Illian, A. Penttinen, H. Stoyan, D. Stoyan (2008) Statistical Analysis and Modelling of Spatial Point Patterns. Wiley, New York.
- F. Lavancier, J. Møller, E. Rubak (2012) Statistical aspects of determinantal point processes, submitted.
- K.-C. Li (1991) Sliced inverse regression for dimension reduction. *JASA* 86, 316–327.